

(103)

## オイルコークス・スラリーの流動特性

(オイルコークス・スラリーの高炉吹き込み技術の開発-6)

株 神戸製鋼所 中央研究所 出口幹郎 ○ 笹原茂樹 前川昌大 (エンジ) 宇野孝二  
 神戸製鉄所 佐藤健一 (鉄) 生産技術部 田村節夫

## 1. 緒 言

オイルコークス・スラリーの流動特性は吹き込み設備設計上極めて重要なものであるが、その報告例は見られない。類似の COM では非ニュートン流体であるとした報告が多い。本報では前報<sup>1)</sup>のパイロットプラントで測定した圧損データに関する検討結果について述べる。なお本技術開発は重質油対策技術研究組合から委託され、新日本製鐵・住友金属工業・日新製鋼・日本钢管と共に行われたものである。

## 2. 実験条件

圧損は 50A の輸送管 (9 m), 65A の環状管 (17 m), 15A の吹き込み管 (20 m) で測定した。オイルコークス (Delayed coke と Fluid coke) の最大粒径は 0.3 mm と 1.0 mm, スラリーの濃度は 0 ~ 50 wt%, 温度は 70 ~ 100 °C, 輸送管と環状管内の流量は 10 ~ 24 m<sup>3</sup>/H, 吹き込み管の流量は 100 ~ 750 kg/H であった。なお、スラリーの粘度はスラリータンクから採取したものを回転粘度計で測定した。

## 3. 検討結果

(1) 15A と 65A の配管における流動曲線は、Fig. 1 に示すようにほぼ原点を通る直線で表わされる。このような結果はオイルコークスの銘柄や粒度に関係なく得られており、本研究の範囲内ではスラリーをほぼニュートン流体として取り扱えることがわかった。

(2) ニュートン流体の層流領域に適用できる Hagen-Poiseuille の式に圧損データを代入して計算粘度  $\mu$  (poise) を求めた。65A の配管に関する結果を Fig. 2 に示す。この計算粘度と粘度計による測定粘度との関係は、オイルコークスの形状と比重ならびにスラリーの濃度の影響を受け、高濃度では、D.C. スラリーの測定粘度が計算粘度よりも大きな値を示し、F.C. スラリーの場合には逆になる傾向が見られた。

(3) 一方、50A の配管における圧損は Fig. 3 に示すように層流から乱流への遷移領域で測定されており、その遷移領域の Re 数は 1200 ~ 2000 の範囲にあり、ニュートン流体のそれとほぼ等しい。

## 4. 結 言

以上の結果の妥当性は神戸第 1 高炉羽口 4 本への吹き込み実験<sup>2)</sup>によって確認され、高炉全羽口吹き込み設備設計の基盤を確立することができた。

- 1) 出口, 森, 宇野,  
 葛西, 佐藤, 田村; 鉄と鋼, 68 (1982)  
 (4) S 2
- 2) 出口, 森, 前川,  
 佐藤, 葛西, 田村; 鉄と鋼, 68 (1982)

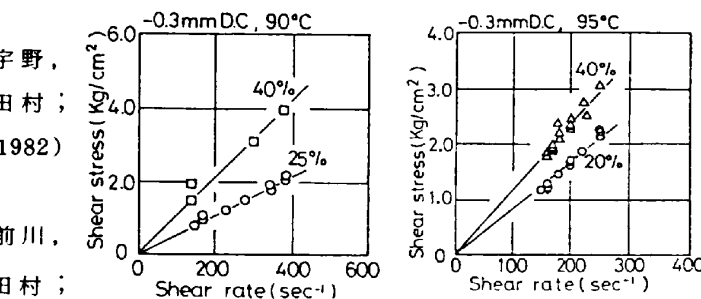


Fig. 1 Rheological properties of D.C.-slurry.

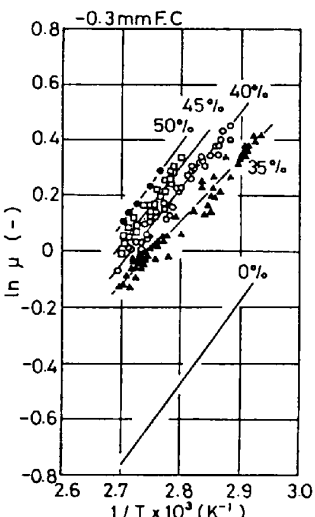
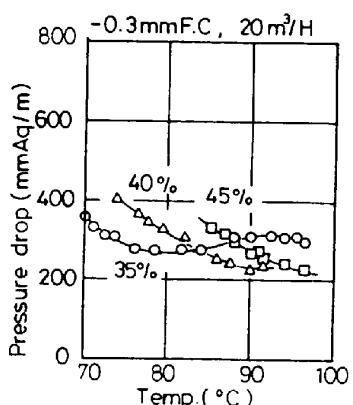
Fig. 2 Relation between  $\ln \mu$  and  $1/T$ .

Fig. 3 Pressure drop in straight pipeline (dia. 52.7mm).